## 高密度スラグ骨材を用いた水中不分離性コンクリートのポンプ圧送による水中施工実験

東洋建設株式会社 正会員 〇森田 浩史, 竹中 寛, 末岡 英二

**±** 1

東洋建設株式会社 フェロー 佐野 清史

東洋大学 フェロー 福手 勤

1.目的 スラグをコンクリート用骨材に活用することは、 天然骨材の枯渇や骨材採取による環境破壊防止の観点から 極めて有効である.このうち高密度スラグの普通コンクリートへの適用では、ブリーディング量の増大やポンプ圧送 の面<sup>1)</sup>から、スラグ骨材使用量の検討が必要とされている. 筆者らは、高い粘性により材料分離抵抗性に優れる水中不 分離性コンクリートであれば、スラグの全量置換ができ、 スラグの有効利用とコンク

リートの重量化が可能と考え、これまでその基本性能について検討してきた<sup>2)</sup>. 本稿は、当該コンクリートの水中施工実験の結果を取り纏めたものである.

材料名	記号	種類	備考							
練混ぜ水	W	上水道水	_							
セメント	C	高炉セメントB種	密度3.04g/cm3							
細骨材	NS	陸砂	表乾密度2.60g/cm3, F.M.2.66							
	CUS5-0.3	銅スラグ(単一粒径)	表乾密度3.53g/cm3, F.M.3.81							
	CUS2.5	銅スラグ(粒度調整品)	表乾密度3.54g/cm3, F.M.2.53							
	EFS	電気炉酸化スラグ	表乾密度3.91g/cm3, F.M.2.76							
粗骨材	NG	砕石	表乾密度2.66g/cm3, F.M.6.71							
	EFG	電気炉酸化スラグ	表乾密度3.73g/cm3, F.M.6.59							
混和剤	Adl	水中不分離性混和剤 主剤	セルロース系							
	Ad2	助剤	ポリアミドエラストマー系							
	Ad3	AE減水剤	リグニンスルホン酸化合物と ポリカルボン酸エーテルの複合							

(中田 ++ 4)

表 2 コンクリートの配合

シリ	使用骨材		W/C s	s/a	単位量(kg/m³)				(C*%)		スランプ 空気量	懸濁			
ーズ				J 57 W	W	C	S	G	Ad1	Ad2	Ad3	フロー	上八重	物質量	pН
	S	G	(%)	(%)	VV		3	Ü	Aui	Auz	Aus	(mm)	(%)	(mg/L)	
NN	NS	NG	55	41.0	220	400	647	950	2.5	0.8	0.6	517.5	2.6	10.0	10.67
C2E	CUS2	EFG	55	39.0	233	424	808	1339	3.0	1.6	1.0	450.0	3.4	27.3	11.32
C3E	CUS3	EFG	55	41.0	220	400	867	1339	2.5	1.4	1.0	485.0	2.8	35.3	11.25
EE	EFS	EFG	55	41.6	216	393	1001	1339	3.0	1.6	1.0	435.0	3.0	17.0	11.06

**2. 使用材料とコンクリート配合** 使用材料を**表 1** に示す。細骨材は、粒度の異なる 2 種類の銅スラグ(CUS5-0.3(CUS2), CUS2.5(CUS3)), 電気炉酸化スラグ(EFS)を用い、粗骨材は、電気炉酸化スラグ(EFG)を用いた。また、比較用の配合には、陸砂(NS)、砕石(NG)を用いた。コンクリートの配合は**表 2** に示すとおり、W/C を 55%、粗骨材容積を一定とし、スランプフロー(SF)が  $500\pm50$ mm、空気量は 4.0%以下となるように調整した。



写真1 型枠および打ち込み状況

4. 実験概要 ポンプ圧送による打込み状況を写真1に示す. 型枠の寸法は

L:5.0m×H:0.9m×W:0.6m で、型枠内を満水として水中打込みを模擬した. 打込みは標準的なポンプ吐出圧力で行い、圧送量は 20m³/h 程度とした. 打込み方法は示方書に準拠して水中自由落下高さが 50cm 以下となるように

した. また打込み位置は移動させず、型枠端部からの片押しとした. コンクリート硬化後のコアの採取は、流下方向に 1m 間隔の計 6 点において、それぞれ打込み天端から下方向に H、M、L の 3 箇所の位置で行い、 $\phi$   $100 \times 600$ m のコアを水平方向に 18 本採取し、圧縮強度と単位容積質量を測定した.

5. 水中での流動性 打込み開始から打込み完 了および硬化後までの経過時間と流動勾配の関 係を図1に示す. 図より, SF が最も大きかった NN は打込み完了とほぼ同時に充填が完了した

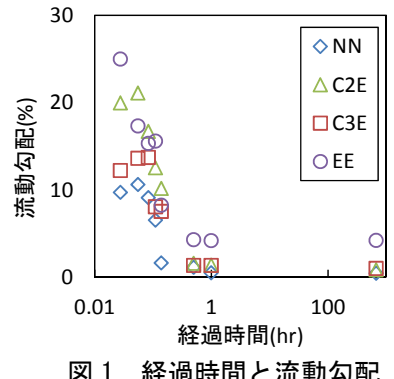


図1 経過時間と流動勾配の関係

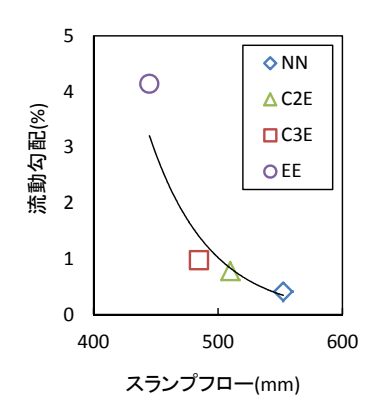
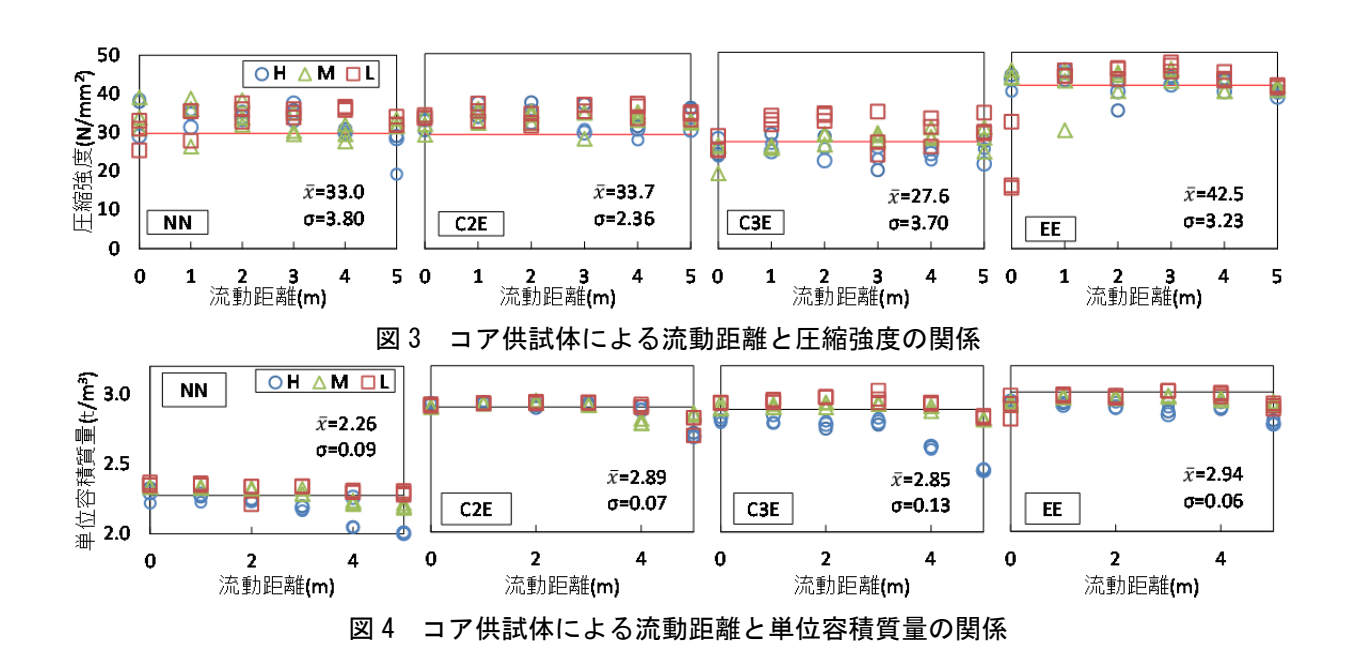


図 2 圧送後の SF と硬化後 の流動勾配の関係

キーワード 水中不分離性コンクリート, 重量コンクリート, 銅スラグ, 電気炉酸化スラグ, ポンプ圧送 連絡先 〒300-0424 茨城県稲敷郡美浦村受領 1033-1 東洋建設(株)美浦研究所 TEL:029-885-7511



のに対し、スラグ骨材を用いた配合は、SF が NN より小さいこともあり、30 分経過後にほぼ充填が完了した. スラグを用いることで、骨材同士の噛み合わせの影響等から流動速度は若干遅くなる傾向が見られた. 圧送後の SF と硬化後のコンクリート天端から求めた流動勾配の関係を図 2 に示す. 図より、骨材の種類のよらず、SF が大きくなるとともに硬化後の流動勾配が小さくなる傾向となった. 本検討の範囲では、種々の骨材を用いた場合でも、流動勾配は SF に依存するため、懸濁物質量が大きくならない範囲で SF を適切に管理すれば、施工性の確保が図れるものと考えられる.

- 6. コア供試体の品質 コア供試体による流動距離と圧縮強度の関係を図 3 に示す. また、図中に水中作製供試体の材齢 28 日における圧縮強度を実線で示す. コア供試体全数の平均圧縮強度( $\overline{x}$ )、標準偏差( $\sigma$ )を併記した. 圧縮強度はいずれの配合においても、ばらつきあるものの、概ね水中作製供試体と同等程度の強度を有していた. なお、EE は打込み位置の下部において圧縮強度が著しく低下した. これは、打込み時に巻き込んだ水が残留した部分からコアを採取したためである. コア供試体による流動距離と単位容積質量の関係を図 4 に示す. なお、図中に水中作製供試体の材齢 28 日における単位容積質量を実線で示す. また、コア供試体全数の平均単位容積質量( $\overline{x}$ )、標準偏差( $\sigma$ )を併記する. いずれの配合も水中作製供試体の材齢 28 日における単位容積質量と国ア供試体全数の平均単位容積質量とコア供試体全数の平均単位容積質量は同等となり、ばらつきも少なく良好な結果を得られた. NN および C3E は H の位置において単位容積質量が小さくなった. NN は、SF が大きかったため、水中流動に伴うコンクリート表面の見かけの単位水量が増加しやすくなり、単位容積質量が小さくなったものと推察される. C3E は、それに加え、銅スラグの表面がガラス質でセメントペースト分との付着が小さかったため、より小さくなったものと考えられる. 一方、C2E および EE は単位容積質量の減少量は小さかった. これより、Ad1 の添加量、SF を適切に管理することで、流動距離に伴う単位容積質量の低下を抑制することが可能と考えられる.
- 7. **まとめ** 高密度スラグ骨材を用いた水中不分離性コンクリートの水中施工実験により,以下の知見が得られた. ①スランプフローや水中不分離性混和剤の添加量を適切に設定することで,良好な流動性とポンプ圧送性が得られる. ②水中への打込みで所要の強度が得られ,かつ圧縮強度や単位容積質量は通常の水中作製供試体によって品質管理が行える. ③銅スラグおよび電気炉酸化スラグを用いた場合,5m の水中流動によっても,所要の圧縮強度や最大3.0t/m³の単位容積質量を得ることが可能である.

## 参考文献

- 1) 川端雄一郎ほか: 銅スラグを大量混合したコンクリートの各種特性,港湾空港技術研究所資料, No.1233, 2011.
- 2) 森田浩史ほか: リサイクル材料を用いた水中不分離性重量コンクリートの基本性状, 土木学会第68回年次学術講演会, V-316, 2013.